

ORIGINAL ARTICLE

Sonocatalytic Oxidation of Reactive Blue 29 by N-doped TiO₂ from Aqueous Solution

Hossein Kamani¹,
Simin Nasser^{2,3},
Ramin Nabizadeh^{2,3},
Mehdi Khoobi^{2,3},
Seyed Davoud Ashrafi⁴
Edris Bazrafshan⁵,
Amir Hossein Mahvi^{2,3}

¹Assistant Professor, Health Promotion Research Center, Zahedan University of Medical Sciences, Zahedan, Iran

²Center for Water Quality Research, Institute for Environmental Research, Tehran University of Medical Sciences, Tehran, Iran

³Professor, Department of Environmental Health Engineering, School of Public Health, Tehran University of Medical Sciences, Tehran, Iran

⁴Assistant Professor, School of Health, Guilan University of Medical Sciences, Rasht, Iran

⁵Professor, Department of Environmental Health, Faculty of Health, Health Sciences Research Center, Torbat Heydariyeh University of Medical Sciences, Torbat Heydariyeh, Iran

(Received December 23, 2017 Accepted May 9, 2018)

Abstract

Background and purpose: Sonocatalytic process as an advanced oxidation process is considered for degradation of pollutants in aqueous solution. The aim of this study was to increase the removal of dye by doping of TiO₂ with non-metal element such as nitrogen.

Materials and methods: Un-doped and N-doped TiO₂ nano-particles with different nitrogen contents were synthesized by a simple sol-gel method in laboratory. X-ray diffraction (XRD), Field emission scanning electron microscopy (FE-SEM), Energy dispersive X-ray analysis (EDX), and UV-visible diffuse reflectance spectra (UV-vis DRS) were used for characterization of the synthesized nanoparticles. The sonocatalytic activity of synthesized nanoparticles was evaluated by investigating degradation of reactive blue 29 under ultrasonic radiation and the effects of nitrogen doping content, different initial pH of solution, and dye concentration.

Results: The study showed that both un-doped and doped nano-particles were in nano-sized that tend to agglomerate. By using different nano-particles, the highest sonocatalytic activity was achieved by 0.6 N-doped TiO₂ with 58 % after 90 min of ultrasonic irradiation. Effect of initial pH of aqueous solution showed that the sonocatalytic activity decreased by increase in initial pH.

Conclusion: Sonocatalysis using N-doped TiO₂ was found to be an effective method for degradation of textile dyes. The high sonocatalytic activity could be attributed to the band gap narrowing and anatase phase in TiO₂ nanoparticles. Sonocatalytic degradation followed the Langmuir-Hinshelwood kinetic model ($R^2 = 0.98$) with a rate constant of $0.01 \text{ mg L}^{-1} \text{ min}^{-1}$.

Keywords: Reactive blue 29, N-doped TiO₂, Sonocatalytic process

J Mazandaran Univ Med Sci 2018; 28 (166): 157-169 (Persian).

* Corresponding Author: Amir Hossein Mahvi- Center for Water Quality Research, Institute for Environmental Research, Tehran University of Medical Sciences, Tehran, Iran (ahmahvi@yahoo.com)

اکسیداسیون سونوکاتالیستی رنگ راکتیو بلو ۲۹ توسط نانوذرات از محیط آبی N-doped TiO₂

حسین کمانی^۱
سیمین ناصری^۲
رامین نبی زاده^۳
مهند خوبی^۴
سید داود اشرفی^۵
ادریس بذرافشان^۵
امیرحسین محوی^۶

چکیده

سابقه و هدف: فرایند سونوکاتالیستی به عنوان یکی از روش‌های اکسیداسیون پیشرفت‌هه برای تجزیه آلینده‌ها در محیط‌های آبی مورد توجه قرار گرفته است. بنابراین، هدف از این مطالعه افزایش راندمان فرایند سونوکاتالیستی به روش دابد کردن دی اکسید تیتانیوم با یک عنصر غیرفلزی مانند نیتروژن است.

مواد و روش‌ها: در این مطالعه تجربی، TiO₂ دابد شده با مقادیر مختلف نیتروژن به روش سل-ژل در آزمایشگاه سنتز شد و آنالیز‌های (FE-SEM)، X-ray diffraction (XRD)، field emission scanning electron microscopy (FE-SEM)، UV-visible diffuse reflectance spectra (UV-visDRS) و Energy dispersive X-ray analysis (EDX) تعیین خصوصیات نانوذرات سنتز شده استفاده گردید. فعالیت سونوکاتالیستی نانوذرات سنتز شده با بررسی تجزیه رنگ راکتیو بلو ۲۹ تحت شرایط تابش امواج اولتراسونیک در حضور TiO₂ دابد شده با مقادیر مختلف نیتروژن و هم‌چنین تغییرات pH و غلظت‌های مختلف رنگ مورد بررسی قرار گرفت.

یافته‌ها: نتایج نشان داد که نانوذرات ساخته شده دارای اندازه‌ای در مقیاس نانومتری است که تمایل به آگلومره شدن دارد. بالاترین فعالیت سونوکاتالیستی برای نانوکاتالیست N-doped TiO₂ به مقدار ۵۸ درصد بعد از ۹۰ دقیقه حاصل شد. اثر pH اولیه محلول نشان داد که فعالیت سونوکاتالیستی با افزایش pH کاهش پیدا می‌کند.

استنتاج: چنین فرایندی می‌تواند به عنوان یک روش موثر جهت تجزیه رنگ‌های نساجی مورد استفاده قرار گیرد. فعالیت بالای سونوکاتالیستی را می‌توان به کاهش شکاف انرژی نسبت داد. این مطالعه از مدل لانگمویر-هیشنلود (R² = ۰/۹۸) با ثابت سرعت واکنش $0.01 \text{ mg L}^{-1} \text{ min}^{-1}$ در تجزیه سونوکاتالیستیکی رنگ پیروی گردید.

واژه‌های کلیدی: رنگ راکتیو بلو ۲۹، دی اکسید تیتانیوم دابد شده با نیتروژن، فرایند سونوکاتالیستی

مقدمه

ولی همواره خطرات بالقوه بهداشتی و اثرات زیست محیطی ناشی از استفاده مجدد از پساب‌ها باید استانداردهای راهکار مناسب جهت تامین منابع آب در نظر گرفته شود

- مؤلف مسئول:** امیرحسین محوی - تهران: دانشگاه علوم پزشکی تهران، پژوهشکده محیط زیست، مرکز تحقیقات کیفیت آب ا. استادیار، دانشکده بهداشت، مرکز تحقیقات ارتقاء سلامت، دانشگاه علوم پزشکی زاهدان، زاهدان، ایران
۱. مرکز تحقیقات کیفیت آب، پژوهشکده محیط زیست، دانشگاه علوم پزشکی تهران، تهران، ایران
۲. استاد، گروه مهندسی بهداشت محیط، دانشکده بهداشت، دانشگاه علوم پزشکی تهران، تهران، ایران
۳. استاد، گروه مهندسی بهداشت، دانشگاه علوم پزشکی گیلان، رشت، ایران
۴. استادیار، دانشکده بهداشت، دانشگاه علوم پزشکی گیلان، رشت، ایران
۵. استاد، گروه بهداشت محیط، دانشکده بهداشت، مرکز تحقیقات علوم بهداشتی، دانشگاه علوم پزشکی تربت حیدریه، تربت حیدریه، ایران
- تاریخ دریافت: ۱۳۹۶/۱۰/۲ تاریخ ارجاع چهت اصلاحات: ۱۳۹۶/۱۰/۶ تاریخ تصویب: ۱۳۹۷/۲/۹

بودن و قیمت ارزان اخیراً مورد توجه قرار گرفته است^(۳,۲). مهم‌ترین مرحله در فرایند فتو/سونوکاتالیستی تشکیل جفت‌های الکترون-حفره می‌باشد. تشکیل جفت‌های الکترون-حفره نیازمند تأمین گاف انرژی^۱ بین لایه ظرفیت^۲ و لایه رسانش^۳ است. گاف انرژی بین لایه ظرفیت و لایه رسانش در TiO_2 (فرم آناتاز) برابر با $3/2$ الکترون ولت می‌باشد. زمانی که مقدار انرژی تأمین شده (فوتون) بیش‌تر از گاف انرژی باشد، جفت‌های الکترون-حفره در نیمه هادی تولید می‌شود. در TiO_2 ، طول موجی که قادر به تأمین اختلاف انرژی بین لایه‌های ظرفیت و رسانش باشد، ۳۸۸ نانومتر است، بنابراین طول موج‌های کم‌تر از ۳۸۸ نانومتر (عمدتاً ناحیه فرابنفش امواج الکترومغناطیسی) برای تولید جفت‌های الکترون-حفره در TiO_2 موثر می‌باشد. الکترون و حفره به ترتیب به عنوان عوامل احیاء کننده و اکسید کننده قوی عمل نموده و با تولید رادیکال‌های هیدروکسیل (OH) آلاینده‌های آلی را تخریب می‌نمایند. امروزه تکنیک‌هایی برای حساس‌سازی نیمه رساناهایی نظیر TiO_2 به نور مرئی (طول موج‌های بالا) استفاده می‌شوند که یکی از مرسوم‌ترین آن‌ها دابد کردن با فلزات و غیر فلزات است که سبب کم کردن گاف انرژی می‌گردد. استفاده از امواج اولترا صوت نیز روش دیگری است که می‌تواند باعث تحریک نیمه رساناها در فرایند کاتالیستی شود^(۴). بسیاری از محققین بر این باورند که مکانیسم سونوکاتالیستی شبیه به مکانیسم فتوکاتالیستی است با این تفاوت که در فرایند سونوکاتالیستی پدیده سونولومینسانس و نقاط داغ که به وسیله کاویتاسیون صوتی بوجود می‌آید، منجر به تولید نور با طول موج گسترده می‌شود که منبع انرژی برای فعالیت کاتالیستی است. بنابراین دابد کردن یون فلزی و غیر فلزی در ساختار TiO_2 می‌تواند فعالیت فرایند سونوکاتالیستی آن را افزایش دهد^(۵,۶). از مزایای دیگر

مریبوطه رعایت گردد. بنابراین، توسعه یک روش موثر و سودمند که دارای راندمان بالایی باشد همواره مورد توجه بوده است. یکی از آلاینده‌های وارد به محیط، فاضلاب رنگی ناشی از صنایع پر مصرف آب مانند صنایع نساجی و رنگرزی می‌باشد. فاضلاب خروجی چنین صنایعی یکی از عمدۀ ترین منابع آلودگی محیط است که لازم است قبل از تخلیه و ورود به محیط زیست به نحو مطلوبی تصفیه شود^(۱). در چنین صنایعی ۲۰ تا ۳۰ درصد از رنگ‌های استفاده شده مربوط به رنگ‌های راکتیو می‌باشد که به دلیل داشتن ساختمان آنتراکوئینون مقاوم به تجزیه بیولوژیکی، رهاسازی آن به محیط اثرات مخربی بر اکوسیستم دارد. برخی از روش‌های مرسوم مانند جذب سطحی و لخته‌سازی، آلودگی را تنها از یک فاز به فاز دیگر منتقل می‌کند و از طرفی، روش‌های دیگر هم‌چون تهشین‌سازی، فیلتراسیون، روش‌های شیمیایی و روش‌های غشایی علاوه بر داشتن هزینه‌های بهره‌برداری بالا، در بسیاری از موارد آلاینده به صورت کامل حذف نمی‌گردد. امروزه، فرآیندهای اکسیداسیون پیشرفته به عنوان یکی از موثرترین روش‌های تصفیه پیشنهاد شده است که قدرت تخریب آلاینده‌های مقاوم را دارا می‌باشد. در بین فرایندهای اکسیداسیون پیشرفته، روش‌های اکسیداسیون کاتالیستی بر پایه استفاده از نانوکاتالیست‌ها مورد توجه قرار گرفته است. در فرایند فتو/سونوکاتالیستی، از اکسیدها و سولفیدهای فلزی نیمه هادی‌ها به صورت خالص یا دابد شده با فلزات به عنوان کاتالیست استفاده می‌شود. چنین کاتالیست‌هایی ZrO_2 , CeO_2 , CdS , ZnS , ZrO_2 , ZnO , TiO_2 , SnO_2 , WO_3 به صورت نانوذره خالص و یا نانوذره دابد شده با یک فلز و یا غیر فلز می‌باشند. تاکنون فعالیت فتوکاتالیستی برخی از این کاتالیست‌ها (از قبیل WO_3 , ZnS و ...)، مورد بررسی قرار گرفت که فعالیت فتوکاتالیستی اغلب آن‌ها کم‌تر از TiO_2 بوده است و هم‌چنین ذرات TiO_2 به علت دارا بودن خواص منحصر به فرد از قبیل سازگاری با محیط زیست، پایداری شیمیایی، غیر سمية

1. Band gap
2. Valence band
3. Conduction band

ایزوپروپوکساید تیتانیوم (شرکت مرک) به عنوان ماده پیش‌ساز تیتانیوم، و ماده تری اتیل آمین (شرکت مرک) به عنوان عامل دابد شونده در ساختار دی اکسید تیتانیوم استفاده گردید. ذرات دی اکسید تیتانیوم دابد شده با مقادیر مختلف نیتروژن دابد شونده^۳ ۶،^۴ ۱۲ درصد مولی نیتروژن به تیتانیوم (۰/۰۶، ۰/۰۱۲، ۰/۰۳) به ترتیب TN1، TN2 و TN3 نامگذاری شدند) سنتز شد. برای سنتز، مقدار مشخصی از ماده ترا ایزوپروپوکساید تیتانیوم و ماده تری اتیل آمین در حلال الكل اتانل (شرکت مرک) درون بالون ته صاف، بر روی همزن مغناطیسی حل گردید. پس از ۳۰ دقیقه اختلاط بر روی همزن و تشکیل سل شفاف، بالون حاوی سل شفاف به مدت ۵ ساعت در آزمایشگاه در دمای محیط قرار داده شد و ژل نیمه شفافی حاصل گردید که دارای مقاومت و چسبندگی خوبی بود. ژل حاصله به مدت ۲۴ ساعت در دمای ۸۰ درجه سانتی گراد در فور خشک شد. پودر خشک حاصله پس از چندین بار شستشو با آب دیونیزه در دمای ۵۰ درجه سانتی گراد به مدت یک ساعت کلسینه گردید. برای سنتز دی اکسید تیتانیوم خالص تمام مراحل سنتز مشابه روش سنتز دی اکسید تیتانیوم دابد شده انجام شد ولی در مرحله سنتز از عوامل دابد شونده استفاده نگردید. پس از ساخت نانوذرات، خصوصیات کیفی آن‌ها، با آنالیز پراش اشعه ایکس^(۱)، آنالیز میکروسکوپ الکترونی روبشی^(۲) FE-SEM، آنالیز DRS^(۳) و آنالیز EDX^(۴) مورد بررسی قرار گرفت.

فعالیت سونوکاتالیستی نانوذرات تهیه شده

در این مطالعه از رنگ راکتیو بلو ۲۹ برای بررسی فعالیت سونوکاتالیستی نانوذرات سنتز شده استفاده شد. این رنگ براساس ساختار شیمیایی جزء رنگ‌های انتراکوئینون است و براساس خاصیت یونیزاسیون جزء رنگ‌های آنیونی و راکتیو می‌باشد. در مرحله

فرایند سونوکاتالیستی می‌توان به استفاده از این فرایند برای فاضلاب‌هایی که توانایی نفوذ نور در آن‌ها کم است (مانند فاضلاب صنایع رنگرزی) اشاره کرد. در چنین فاضلاب‌هایی، نفوذ امواج فرماحت از عمق ۲۵-۳۰ سانتی‌متر قابل ملاحظه است، بنابراین امواج فرماحت می‌تواند به عنوان یک گزینه جهت تولید رادیکال هیدروکسیل استفاده شود^(۷). اگرچه استفاده از روش اولترا صوت نیاز به انرژی زیادی دارد ولی استفاده از نانوکاتالیست‌های دابد شده و دابد نشده می‌تواند زمان واکنش را کاهش و راندمان حذف را افزایش دهد که در نتیجه، سبب کاهش هزینه‌ها در این روش شود^(۷). هدف از این مطالعه تولید نانوذرات TiO₂ دابد شده (N-doped TiO₂) با مقادیر مختلف عنصر نیتروژن است که بتواند راندمان فرایند سونوکاتالیستی TiO₂ را با روش دابد کردن ارتقاء بخشد و با به کارگیری فرایند حذف سونوکاتالیستی، کارآیی این روش را برای پساب‌هایی که پتانسیل جذب نور بالایی دارند، بررسی نماید. در این مطالعه رنگ راکتیو بلو ۲۹، به عنوان یک شاخص از گروه رنگ‌های آنتراکوئینون که دارای ساختاری مقاوم، سمی و غیرقابل تجزیه بیولوژیک و مقاوم در برای روش‌های متداول فیزیکی و شیمیایی است با روش اکسیداسیون پیشرفته سونوکاتالیستی در حضور نانوذرات N-doped TiO₂ و TiO₂ مورد مطالعه قرار گرفت و اميد است که نتایج حاصل از این مطالعه جهت کاهش آلودگی‌های مشابه و رساندن غلظت آن‌ها به استانداردهای زیست محیطی تخلیه پساب در صنایع کشور مفید واقع شود.

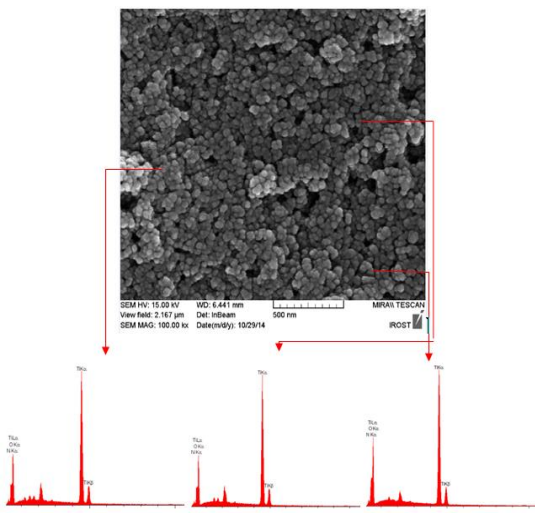
مواد و روش‌ها

ساخت نانو ذره دی اکسید تیتانیوم دابد شده با نیتروژن (N-doped TiO₂) و تعیین مشخصات آن‌ها

در این مطالعه تجربی، از روش سل-ژل برای سنتز نانو ذرات دی اکسید تیتانیوم دابد شده و خالص استفاده شد^(۲). برای سنتز ذرات دابد شده از ترا

1. X-Ray Diffraction
2. Field Emission- Scanning Electrons Microscope
3. Energy Dispersive X-ray Spectroscopy
4. Diffuse Reflectance Spectra

هدف تعیین میزان کاهش شکاف انرژی ذرات دابد شده در مقایسه با ذرات خالص استفاده گردید. تصویر شماره ۱ تصویر SEM-EDX مربوط به نانوذرات TiO_2 را همراه با EDX از نقاط مختلف نشان می‌دهد.



تصویر شماره ۱: تصویر FE-SEM همراه با EDX نانوذرات N-doped TiO_2

به منظور تعیین ساختار کریستالی و تعیین اندازه کریستال‌های تشکیل شده و فازی ذرات از دستگاه طیف سنجی پراش اشعه ایکس (XRD) استفاده گردید. نمودار شماره ۱ طیف XRD مربوط به نانوذرات TiO_2 و N-doped TiO_2 با مقادیر مختلف نیتروژن دابد شده را در فاصله ۱۰ تا ۷۰ درجه (°) نشان می‌دهد. با توجه به نتایج XRD اندازه کریستال در نانوذرات مختلف سنتز شده با استفاده از رابطه دبای-شرر^۱ محاسبه شد که نتایج مربوط به اندازه آن‌ها به صورت جداگانه در جدول شماره ۱ ارائه شده است.

آنالیز DRS به منظور بررسی میزان کاهش اندازه شکاف انرژی ذرات پس از عملیات دابد کردن نیتروژن در مقایسه با ذرات خالص در ساختار نانوذرات سنتز شده به کار گرفته شد. نمودار شماره ۲ طیف جذبی را برای چهار نمونه سنتز شده در بازه طول موج ۳۰۰ تا ۷۰۰ نانومتر را نشان می‌دهد.

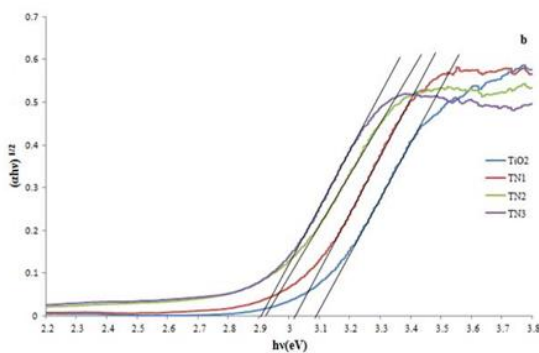
سونوکاتالیستی تاثیر متغیرهای مختلف از قبیل تاثیر مقادیر مختلف عنصر دابد شده نیتروژن، زمان انجام واکنش و pH اولیه محلول در فرایند سونوکاتالیستی مورد مطالعه قرار گرفت. آزمایش‌ها در یک راکتور شیشه‌ای ناپیوسته (ارلن) انجام شد، مقادیر مشخصی از نانوکاتالیست‌های سنتز شده (غلظت ۱۰۰ میلی گرم در لیتر) و مقدار مشخصی رنگ راکتیو بلو (۱۰۰ میلی گرم در لیتر) در داخل راکتور ریخته شد و به مدت ۳۰ دقیقه در تاریکی بر روی همزن قرار داده، تا فرایند جذب به تعادل برسد. راکتور مورد نظر در دستگاه اولتراسونیک (Elma model: TI-H5) که در فرکانس ۱۳۰ KHz توان خروجی W ۱۰۰ امواج اولترا صوت تابش می‌کرد قرار داده شد تا فرایند اکسیداسیون انجام شود. برای جلوگیری از افزایش دما و تاثیر آن بر روی فرایند، دمای راکتور آزمایش با استفاده از سیستم گردش آب درون مخزن دستگاه اولتراسونیک در محدوده ۲۵ درجه سانتی گراد کنترل شد. بعد از تابش امواج در زمان های ۱۵، ۳۰، ۴۵، ۶۰، ۹۰ و ۷۵ دقیقه از سوسپانسیون در حال تابش نمونه برداری شد و مقدار رنگ باقی مانده بر حسب مقدار اکسیژن مورد نیاز شیمیایی درون محلول اندازه گیری گردید. برای هر کدام از متغیرهای مورد مطالعه، مراحل فوق با سه بار تکرار مورد بررسی قرار گرفت.

یافته‌ها

تعیین مشخصات نانوکاتالیست‌های سنتز شده از آن جایی که میزان فعالیت ذرات فتوکاتالیست و سونوکاتالیست وابسته به خواص و ویژگی‌های آن‌ها می‌باشد، مشخصه یابی ذرات سونوکاتالیست سنتز شده به منظور بررسی خواص فیزیکی و شیمیایی آن‌ها اهمیت بسزایی دارد، بنابراین از آنالیز^۱ EDX به منظور تعیین عناصر موجود در ساختار ذرات سنتز شده، آنالیز FE-SEM و برای تعیین ریخت‌شناسی و اندازه ذرات، آنالیز XRD به منظور بررسی ساختار کریستالی ذرات، آنالیز DRS با

1. Debye-Scherrer

5. Energy dispersive X-ray Spectroscopy



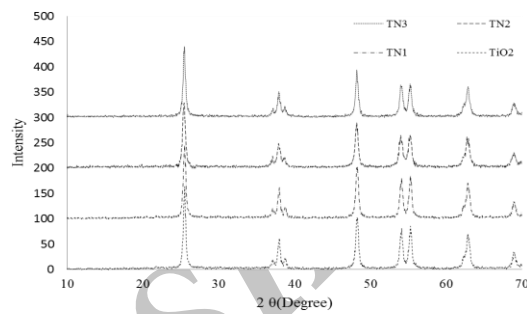
نمودار شماره ۳: نمودار تاوک جهت محاسبه شکاف انرژی نانو ذرات سنتز شده

فرایند سونوکاتالیستی رنگ راکتیو بلور ۲۹

پس از سنتز نانو ذرات TiO_2 و N-doped TiO_2 با مقادیر مختلف نیتروژن دابد شده و همچنین تعیین مشخصات آنها، فرایند اکسیداسیون سونولیز (بدون حضور نانو ذرات) و فرایند اکسیداسیون سونوکاتالیستی (در حضور نانو ذرات سنتز شده) برای حذف رنگ راکتیو ۲۹ مورد مطالعه قرار گرفت که نتایج آن در نمودار شماره ۴ نشان داده شده است. همان‌طور که نمودار شماره ۴ نشان می‌دهد میزان جذب آلائیند بر سطح کاتالیست کمتر از ۵ درصد است و در این مطالعه چون هدف بررسی فرایند سونوکاتالیستی بوده، از مقادیر مربوط به جذب رنگ بر نانو ذرات صرف نظر شده است. در این مطالعه فرایند سونوکاتالیستی (استفاده از نانو ذرات در محلول) حداقل دارای راندمان ۵۸ درصد بود که نسبت به فرایند سونولیز ۱۲ درصد راندمان حذف کارآئی بهتری را از خود نشان داد (تفاوت معنی دار <0.05). نتایج مربوط به دابد عنصر نیتروژن نشان داد زمانی که از مقدار 0.06 مولی نیتروژن به عنوان ماده دابد شده استفاده می‌شود راندمان بالاتری را از خود نشان می‌دهد (<0.05) و اثر سینرژیستی 0.34 را دارا می‌باشد.

در این مطالعه پس از مشخص شدن مقدار نیتروژن با نسبت 0.06 به عنوان غالب‌ترین عنصر دابد شده، اثر pH اولیه محلول بر راندمان حذف رنگ در زمان‌های

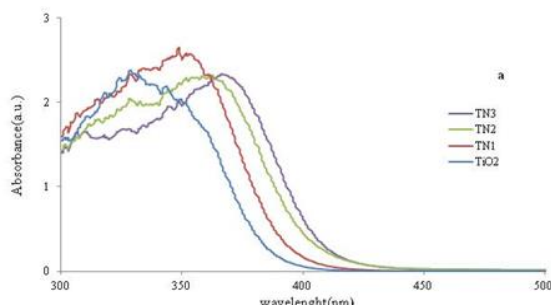
علاوه بر تعیین طیف جذبی، مقدار گاف انرژی^۱ (شکاف انرژی) نانو ذرات با استفاده از داده‌های آنالیز DRS و به کارگیریتابع کوبلکا-مانک^۲ بر حسب الکترون ولت E_{h}^{h} محاسبه شد که نتایج آن در نمودار شماره ۳ و مقدار عددی آن در جدول شماره ۲ ارائه شده است.



نمودار شماره ۱: طیف XRD نانو ذرات TiO_2 و N-doped TiO_2

جدول شماره ۱: اندازه کریستالت نانو ذرات سنتز شده (محاسبه شده بر اساس رابطه شرر)

نمونه	اندازه کریستالت (نانومتر)
un-doped TiO_2	۲۹/۶
0.03 N-doped TiO_2 (TN1)	۳۰
0.06 N-doped TiO_2 (TN2)	۲۶/۲
0.12 N-doped TiO_2 (TN3)	۲۳/۸



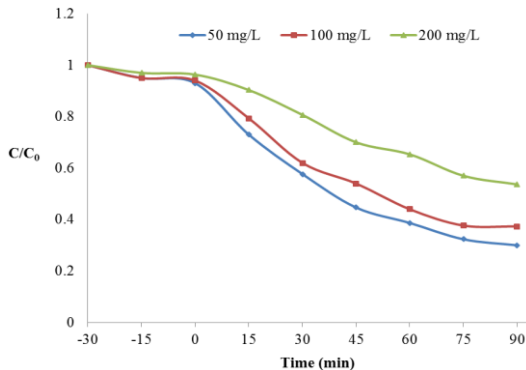
نمودار شماره ۲: طیف جذب نور مرئی-طیف فرابنفش (DRS) ذرات N-doped TiO_2 خالص، TiO_2

جدول شماره ۲: نتایج حاصل از آنالیز DRS

نمونه	E_g (eV)	λ (nm)
un-doped TiO_2	۳۰.۹	۴۰۱
0.03 N-doped TiO_2 (TN1)	۳۰.۲	۴۱۰
0.06 N-doped TiO_2 (TN2)	۲۹.۲	۴۲۵
0.12 N-doped TiO_2 (TN3)	۲۹.۱	۴۲۶

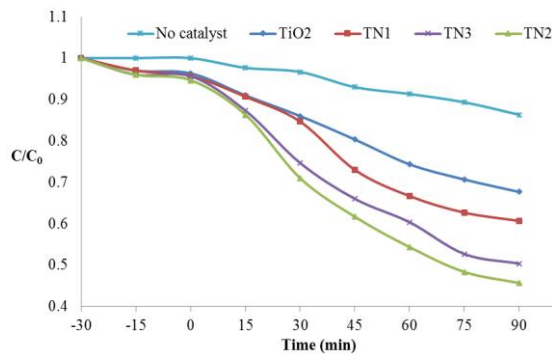
1. Band gap
2. Kubelka-Munk function

دارای اثر معنی‌داری ($p < 0.05$) بر راندمان حذف رنگ داشته است به طوری که با افزایش غلظت اولیه رنگ، راندمان حذف کاهش یافت. حداقل راندمان درصد در غلظت اولیه رنگ ۲۰۰ میلی‌گرم در لیتر و حداقل راندمان ۷۵ درصد در غلظت ۵۰ میلی‌گرم در لیتر به دست آمد.

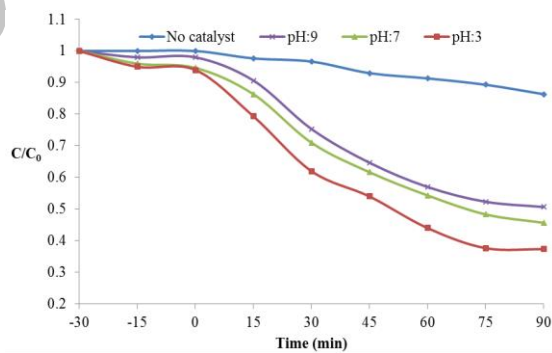


نمودار شماره ۶: اثر غلظت اولیه رنگ بر میانگین راندمان حذف رنگ در فرآیند سونو کاتالیستی N-doped TiO_2 در زمان های مختلف ($C_{\text{cat} 0} = 100 \text{ mg/L}$, $\text{pH} = 3$)

مختلف مورد مطالعه قرار گرفت که نتایج آن در نمودار شماره ۵ نشان داده شده است. در این مطالعه تغییرات pH اثر معنی‌داری بر راندمان حذف رنگ داشته است ($p < 0.05$) به طوری که بهترین pH برای حذف رنگ، مقدار pH برابر ۳ بوده است که پس از ۹۰ دقیقه تابش امواج اولترا صوت راندمان ۶۸ درصد را نشان داد.



نمودار شماره ۴: اثر مقدار N-doped TiO_2 بر میانگین راندمان حذف رنگ ($C_{\text{dye} 0} = 100 \text{ mg/L}$, $C_{\text{cat} 0} = 100 \text{ mg/L}$, $\text{pH} = 3$)



نمودار شماره ۵: اثر pH بر میانگین راندمان حذف رنگ در فرآیند سونو کاتالیستی N-doped TiO_2 ($C_{\text{cat} 0} = 100 \text{ mg/L}$, $C_{\text{dye} 0} = 100 \text{ mg/L}$)

بحث
مشخصات نانو کاتالیست های سنتز شده در این مطالعه، ریخت‌شناسی سطح و اندازه ذرات سنتز شده با استفاده از آنالیز FE-SEM مورد بررسی قرار گرفت. تصویر شماره ۱ نشان دهنده تصویر مربوط به ذرات کاتالیست N-doped TiO_2 می‌باشد. در تصویر شماره ۱ مشاهده می‌شود، ذرات سنتز شده خیلی ریز و در حد سایز نانومتر است، علاوه بر این ذرات سنتز شده در تصاویر تقریباً یک دست و دارای سطحی تقریباً صاف بوده که کلوخگی قابل ملاحظه‌ای در آن‌ها مشاهده نمی‌شود. قطر ذرات سنتز شده در حدود ۴۰-۳۰ نانومتر بوده است که با سایز کریستالی محاسبه شده مربوط به ذرات از آنالیز XRD Mطابقت دارد. در تصویر شماره ۱ مربوط به N-doped TiO_2 ، علاوه بر تصویر مربوط به ریخت‌شناسی، طیف مربوط به آنالیز EDX از نقاط مختلف پودر نانو ذره نشان داده شده است. همان‌طور

پس از مشخص شدن مقدار نیتروژن دابد شده بهینه و هم‌چنین مقدار pH اولیه بهینه محلول بر راندمان حذف رنگ، تاثیر غلظت اولیه رنگ (۰-۲۰۰ میلی‌گرم در لیتر) تحت شرایط ثابتی از متغیرها، در زمان‌های مختلف مورد بررسی قرار گرفت که نتایج آن در نمودار شماره ۶ نشان داده شده است. در این مطالعه تغییرات غلظت اولیه رنگ،

و سایر پارامترهای دیگر در اندازه کریستال نانوذراتی که سنتز می شود تاثیر گذار است بنابرین اندازه کریستال در همه نمونه های سنتز شده با استفاده از رابطه دبای- شر^۲ محاسبه گردید که نتایج آن در جدول شماره ۱ ارائه شده است. مطابق جدول شماره ۱، ذرات سنتز شده دارای کریستال هایی با اندازه های متفاوت می باشند که این خود می تواند بر روی فرایندهای کاتالیستی که نیاز به تحریک پذیری دارند تاثیر گذار باشد. مطالعه Shaozheng نشان داد کوچک تر شدن اندازه ذرات و در نتیجه بیش تر شدن سطح موثر آن ها باعث تسهیل جذب گروه های هیدروکسیل بر سطح نانوذرات می شود که در نهایت منجر به تولید رادیکال های هیدروکسیل بیش تر و فعالیت کاتالیستی بیش تری خواهد شد^(۴). آنالیز DRS به منظور بررسی میزان کاهش اندازه شکاف انرژی پس از عملیات دابد کردن نیتروژن در ساختار TiO_2 ، به کار گرفته شد. نمودار شماره ۲ طیف جذبی را برای چهار نمونه سنتز شده در بازه طول موج ۳۰۰ تا ۷۰۰ نانومتر نشان می دهد. مطابق نمودار شماره ۲، نمونه سنتز شده TiO_2 در طول موج های فرابنفش، دارای جذب نور می باشد که این امر معمولاً به انتقال بار از تراز انرژی ظرفیت (که عموماً مشکل از اوریتال $2p$ مربوط به آنیون های اکسید می باشد) به تراز انرژی هدایت (که عموماً مشکل از اوریتال $3d_{10}$ مربوط به کاتیون های Ti^{+4} می باشد) در آن نسبت داده می شود. بنابراین نمونه TiO_2 ، در محدوده طیف مرئی ($\lambda > 400$ nm) جذب نور قابل ملاحظه ای را از خود نشان نداده و آستانه جذب^۳ برای آن در ابتدای طول موج های مربوط به طیف مرئی (۴۰۱ نانومتر) می باشد. این در حالی است که با دabd شدن نیتروژن در ساختار TiO_2 ، باعث جابه جایی طول موج جذبی به سمت طول موج های بالاتر و نزدیک تر شدن به ناحیه مرئی گردیده است. عنصر نیتروژن غنی شده در ساختار تیتانیوم دی اکسید، مانند یک تراز انرژی میانی عمل کرده و باعث کاهش شکاف انرژی

که طیف های مربوطه نشان می دهند عناصر شرکت کننده در $N-doped TiO_2$ ، از یکنواختی و پراکندگی خوبی برخوردار است و از طرفی طیف مزبور نشان دهنده وجود عنصر نیتروژن در ساختار شبکه ای $N-doped TiO_2$ می باشد. به منظور تعیین ساختار کریستالی، تعیین اندازه کریستال های تشکیل شده و فازی ذرات از دستگاه طیف سنجی پراش اشعه ایکس (XRD) در محدوده ۲۰ از ۲۰ تا ۷۰ درجه استفاده شد. همان طور که نمودار شماره ۱ نشان می دهد، طیف مربوط به XRD نمونه های $N-doped TiO_2$ سنتز شده دارای پیک های بزرگ و نوک تیز می باشد که نشان دهنده ساختار کریستالی خوب در نانوذرات سنتز شده است. نمودار شماره ۱ نشان می دهد که پیک موجود در $2\theta = 25/38$ مربوط به فاز آناتاز بوده است. بنابراین ذرات کلسینیه شده در دمای ۵۰۰ درجه سانتی گراد، ۱۰۰ درصد آناتاز بوده و اثری از فاز روتایل دیده نمی شود. پیک های مجزا و مشخصی که در نمودار شماره ۱ مشاهده می شود، ساختار کریستالی فاز آناتاز را تایید می کنند (JCPDS File No. 21-1276).

نتایج مطالعات مختلف نشان داده است که فعالیت کاتالیستی نانوذرات دی اکسید تیتانیوم با افزایش دما از ۳۰۰ تا ۷۰۰ درجه سانتی گراد افزایش می باید و نانوذرات کاتالیستی تهیه شده در دمای ۵۰۰ درجه سانتی گراد دارای بیش ترین فعالیت کاتالیستی است چرا که در این دما کریستاله شدن نانوذرات به فاز آناتاز^۱ به طور کامل انجام می شود^(۸). نمودار شماره ۱ نشان می دهد که طیف XRD مربوط به نمونه های TiO_2 و $N-doped TiO_2$ ۱۰۰ درصد آناتاز بوده و هیچ گونه پیک مربوط به فاز های دیگر مشاهده نمی شود که این خود می تواند ناشی از مقدار کم عناصر دابد شده نیتروژن در ساختار TiO_2 و از طرفی، ناشی از جایگزینی عناصر نیتروژن در موقعیت های درون شبکه ای و یا بین شبکه ای ساختار کریستالی TiO_2 باشد. با توجه به این که شرایط ساخت نظری حرارت کلسینیون، میزان نرخ حرارت دهی

2. Debye-Scherrer
3. Absorption edge

1. Anatase

نانوذرات) و همین طور نسبت به فرایند سونوکاتالیستی TiO_2 که در آن عنصری دابد نشده است بیشتر می باشد. همچنین نمودار نمودار شماره ۴ نشان می دهد که با افزایش مقدار عنصر دابد شونده در ساختار دی اکسید تیتانیوم راندمان حذف افزایش یافته و پس از مقدار مشخصی عنصر دابد شده، مجدداً راندمان حذف رنگ کاهش می یابد. نتایج مربوط به اثر عنصر دابد شونده نشان داد که افزودن مقداری نیتروژن به صورت دابد شده در ساختار TiO_2 ، می تواند سبب افزایش ثابت سرعت تجزیه نسبی^۲ فرایندهای سونوکاتالیستی TiO_2 N-doped- TiO_2 ^{۰/۰۳} و TiO_2 N-doped- TiO_2 ^{۰/۱۲} شود. نتایج آنالیز واریانس مربوط به راندمان حذف رنگ بوسیله فرایندهای سونوکاتالیستی TiO_2 N-doped- TiO_2 ^{۰/۰۳} و TiO_2 N-doped- TiO_2 ^{۰/۱۲} باقیمانده زمانی که از مقادیر مختلف عنصر دابد شونده نیتروژن استفاده می شود، وجود دارد.

اثر pH اولیه محلول بر راندمان حذف سونوکاتالیستی در این مطالعه برای بررسی اثر pH های اولیه محلول بر راندمان حذف رنگ، اثر pH اولیه محلول در سه سطح اسیدی، خنثی و بازی بر راندمان حذف رنگ بررسی شد. نمودار شماره ۵، مقایسه راندمان حذف رنگ در pH های مختلف را برای فرایند سونوکاتالیستی TiO_2 N-doped شان می دهد. مقایسه نتایج به دست آمده نشان داد که راندمان حذف رنگ در pH اسیدی بیشتر از pH بازی و خنثی است. حذف رنگ در محلول با pH اسیدی را می توان به این صورت توجیه کرد که در pH های پایین (pH کمتر از pH_{zpc}) در این TiO_2 مطالعه $pH = 6/2$ (pH_{zpc}) به دلیل وجود بارهای مثبت به عنوان یک اسید لوئیس عمل کرده و از طرفی،

می شود. همان طور که در نمودار شماره ۳ مشاهده می شود، پس از دابد کردن مقادیر مختلف نیتروژن به ساختار TiO_2 ، شکاف انرژی آن از $3/09$ الکترون - ولت به $3/02$ ، $2/92$ و $2/91$ به ترتیب در نمونه های $TN2$ ، $TN1$ و $TN3$ کاهش یافته است. کاهش شکاف انرژی در ساختار تیتانیوم دی اکسید باشد. قرار گرفتن نیتروژن در ساختار TiO_2 به صورت جایگزین شدن^۱ با اتم های TiO_2 سبب کاهش شکاف انرژی به دلیل اختلاط اوریتال های نیتروژن ($2p$) با اوریتال های اکسیژن (O) تراز ظرفیت تیتانیوم است. مقایسه نانوذرات دی اکسید تیتانیوم سنتز شده بدون دابد شدن با دی اکسید تیتانیوم تجاری که دارای شکاف انرژی $3/2$ الکترون - ولت است نشان می دهد که نانوذرات سنتز شده به روش سل - ژل دارای شکاف انرژی پایین تری است که این تفاوت می تواند به دلیل پارامترهای تاثیرگذار در حین سنتز ذرات باشد. بنابراین نانوذرات سنتز شده دارای خاصیت کاتالیستی بالاتری نسبت به دی اکسید تیتانیوم تجاری است^(۱۰). با توجه به نتایج به دست آمده و جایه جایی شکاف انرژی از محدوده طیف فرابنفش به محدوده نور مرئی، انرژی لازم جهت برانگیخته شدن الکترون از باند ظرفیت به باند هدایت و انجام واکنش سونو / فتوکاتالیستی، کاهش می یابد و انتظار می رود که نانوکاتالیست های سنتز شده در این مطالعه، دارای فعالیت بیشتری در برابر اشعه فرابنفش، امواج فرماحت و نور مرئی باشد.

اثر مقادیر نیتروژن بر فرایند اکسید اسیون سونوکاتالیستی مطابق نمودار نمودار شماره ۴، بررسی اثر مقادیر مختلف نیتروژن در TiO_2 N-doped بر راندمان حذف رنگ، نشان داد که با دابد شدن مقادیر مختلف عنصر نیتروژن، راندمان حذف رنگ در فرایند سونوکاتالیستی N -doped TiO_2 نسبت به فرایند سونولیز (عدم حضور

2. Relative increase of k_{app}

1. Substitutional

که ماده رنگی به دلیل پروتون دار شدن و افزایش خاصیت هیدروفوبی آن می تواند به راحتی وارد فاز میانی مایع- حباب یعنی جایی که بیشترین رادیکال‌های هیدرولیکی تشکیل شده وجود دارد، شده و راحت تر تجزیه گردد. در مورد رنگ‌ها در pH‌های بالاتر از ضریب تجزیه رنگ (pK_a)، از دست دادن پروتون گروه کربوکسیل به راحتی اتفاق افتد و به شکل یونی می‌شود. در pH‌های کمتر از ضریب تجزیه رنگ (pK_a)، ماده رنگی به صورت پروتونه است و خاصیت هیدروفوبی بهتری دارد^(۱۶). علاوه بر عوامل گفته شده فوق، یکی از دلایل افزایش فرایند فتوکاتالیستی و سونوکاتالیستی در pH پایین می‌تواند به دلیل پایین بودن میزان ترکیب الکترون و حفره در TiO_2 در این pH‌های پایین باشد^(۱۷).

اثر غلظت اولیه رنگ و بررسی سنتیک واکنش
در این مطالعه، کاهش راندمان تجزیه به دنبال افزایش غلظت آلاینده را می‌توان این گونه بیان کرد که در فرایندهای فتوکاتالیستی / سونوکاتالیستی، با افزایش غلظت رنگ در محلول، مولکول‌های آلاینده بیشتری به سطح کاتالیست می‌چسبد و در نتیجه سایت‌های فعال کاتالیست کاهش می‌یابد، بنابراین به دنبال سایت‌های اشغال شده سطحی کاتالیست، میزان تشکیل رادیکال‌های هیدرولیکی کاهش یافته و به دنبال آن راندمان حذف کاهش می‌یابد. طبق مستندات منتشر شده، افزایش غلظت آلاینده نیز می‌تواند منجر به جذب بیشتر نور در محلول و در نتیجه کاهش تعداد فوتون‌های رسیده به سطح کاتالیست شود که به دنبال آن کاهش تولید رادیکال‌های هیدرولیکی اتفاق می‌افتد. مطابق با گزارش بسیاری از محققین، مدل لانگمویر- هینشلوود یکی از رایج‌ترین و کاربردی‌ترین مدل‌ها برای توصیف واپستگی سرعت اولیه واکنش به غلظت اولیه آلاینده است. بنابراین برای اثبات پیروی سرعت واکنش حذف آلاینده از مدل لانگمویر- هینشلوود در فرایند

رنگ‌های آنیونی به عنوان یک باز لوئیس عمل می‌کنند و می‌توانند به راحتی در pH‌های بالاتر از ضریب تجزیه رنگ ($pK_a=2$) که رنگ به صورت آنیون منفی تغییر یافته اند بر روی سطح کاتالیست با بار مثبت جذب شوند. بنابراین در pH‌های اسیدی بالاتر از ۲، جذب رنگ آنیونی بر سطح کاتالیست به راحتی انجام می‌شود. چنین شرایطی در شرایط قلیایی به علت جذب رقابتی بین گروه‌های هیدرولیکی و مولکول‌های رنگ، نیروی دافعه کولنی^۱ بین سطح کاتالیست با بار منفی در pH قلیایی و مولکول‌های رنگ، اتفاق نمی‌افتد^(۱۸). نتیجه مربوط به افزایش راندمان در pH اسیدی در این مطالعه مطابق با نتایج مطالعات Peternel است که نشان داد تجزیه رنگ راکتیو قمز^۲ در فرایند فتوکاتالیستی دی اکسید تیتانیوم در pH اسیدی ۳ دارای بالاترین راندمان است^(۱۹).

مطالعه دیگری بر روی تجزیه رنگ آبی مستقیم
 TiO_2 ^۳ با استفاده از فرایند اولتراسونیک نشان داد که بهترین pH برای تجزیه، pH معادل ۳ می‌باشد. این نکته که بهترین pH برای فرایند اولتراسونیک و تجزیه مواد آلی pH حدود ۳ تا $\frac{3}{5}$ می‌باشد در بسیاری از مقالات تاکید شده است، چرا که در pH‌های اسیدی سطح TiO_2 دارای بار مثبت می‌شود و مولکول رنگ با ساختار راکتیو^۴ به دلیل داشتن گروه‌های سولفونات^۵ به شکل آنیون منفی به راحتی بر روی آن جذب و اکسید می‌شوند^(۲۰). از طرفی pH‌های خیلی اسیدی سبب آگلومره شدن ذرات TiO_2 شده و جذب رنگ و فوتون‌های انرژی را بر روی نانوذره کاهش می‌دهد. بنابراین انتظار می‌رود در pH بالای ۲ راندمان حذف بیشتر شود^(۱۵,۱۶).

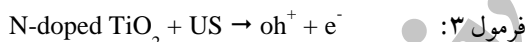
مطالعه بر روی اثر pH بر فرایند اکسیداسیون فتوکاتالیستی و سونوکاتالیستی رنگ‌ها

1. Coulombic repulsion
2. Reactive red 45
3. dye direct sky blue 5B
4. Reactive
5. Sulfonate

می تواند طبق فرمول شماره ۱ سبب پیرولیز و تجزیه مولکول آب و در نتیجه تولید رادیکال هیدروکسیل (OH⁻) و رادیکال هیدروژن (H⁺) شود.



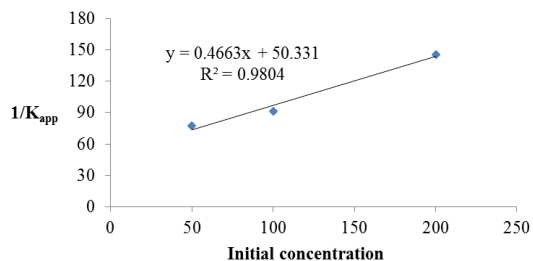
علاوه بر این، پدیده سونولومینسانس می تواند مطابق فرمول شماره ۲ سبب تولید نور / انرژی شود که مقدار انرژی آن برابر و یا بیشتر از مقدار شکاف انرژی دی اکسید تیتانیوم است. این نور / انرژی به راحتی می تواند الکترون را از لایه ظرفیت به لایه هدایت منتقل کند. در نتیجه تحریک الکترون از لایه ظرفیت به لایه هدایت، مطابق فرمول شماره ۳ حفره هایی در لایه ظرفیت و الکترون هایی در لایه هدایت بوجود می آید. از طرفی مطابق فرمول شماره ۴ مولکول های رنگ (Organic Matter) بوسیله فوتون تولیدی تحریک می شوند و تولید حالت ناپایداری از رنگ می کنند(۱۴).



مطابق فرمول شماره ۵ الکترون رسیده به لایه هدایت، نانو ذره به وسیله یون Ti⁴⁺ به دام می افتد و سبب تبدیل Ti⁴⁺ به حالت Ti³⁺ می شود که در نتیجه آن، اربیتال های یون 3d Ti³⁺ به وجود آمده حدود ۱/۱۸ - ۰/۷۵ الکترون - ولت پایین تر از لایه هدایت قرار می گیرد. ثابت شده است که Ti³⁺ بهترین محل واکنش های اکسیداسیون است به این دلیل که بیشترین فضای اکسیژن خالی را جهت اکسیداسیون ایجاد کرده و اکسیژن راحت تر به سطح نانو ذره دی اکسید تیتانیوم جذب می شود. الکترون جهش یافته به لایه هدایت، طبق فرمول ۶ و ۷ با اکسیژن های جذب شده بر سطح نانو ذره واکنش داده و آئیون رادیکال پروکسید طبق واکنش های سری، مطابق فرمول های ۸، ۹، ۱۰، ۱۱، ۱۲ و ۱۳ به

سونو کاتالیستی N-doped TiO₂ معادله خطی مدل لانگمویر - هینشلوود نوشته شد (معادله شماره ۱). با ترسیم محورهای مختصات و قرار دادن معکوس ثابت های واکنش در برابر غلظت های اولیه رنگ، بهترین خط مربوط به آن ترسیم گردید (نمودار شماره ۷).

$$\frac{1}{r_0} = \frac{1}{k_r} + \frac{1}{k_r K C_0} \quad \text{معادله شماره ۱ :}$$



نمودار شماره ۷: تغییرات معکوس ثابت های واکنش در برابر غلظت های اولیه رنگ در فرایند سونو کاتالیستی ۰.۰۶ N-dopedTiO₂ مختلف (C_{cat 0} = ۱۰۰ mg/L, pH = ۳)

به دلیل این که خط ترسیم شده برای حذف رنگ در فرایند سونو کاتالیستی N-doped TiO₂ داری پیوستگی بالایی (R² = ۰/۹۸) بوده است می توان نتیجه گرفت که فرایند سونو کاتالیستی فوق به خوبی از مدل لانگمویر - هینشلوود تبعیت می کند. با توجه به مدل لانگمویر - هینشلوود، مقادیر ثابت سرعت واکنش از لانگمویر - هینشلوود (k_r) و ثابت جذب لانگمویر (K) از روی نمودار خطی تصویر شماره ۸ محاسبه شدند که مقدار k_r و K به ترتیب ۰/۰۱ L mg^{-۱} min^{-۱} و ۰/۰۴ mg L^{-۱} به دست آمد.

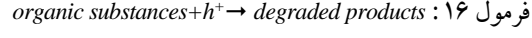
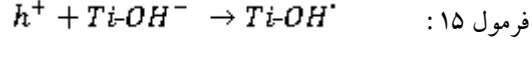
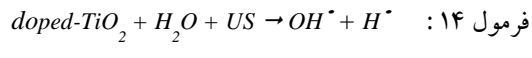
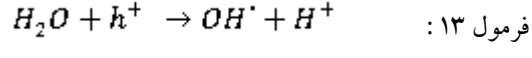
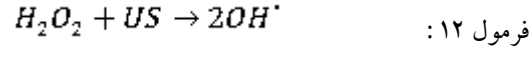
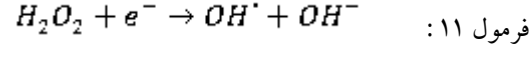
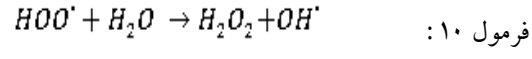
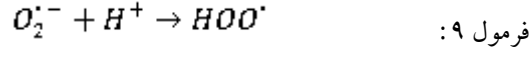
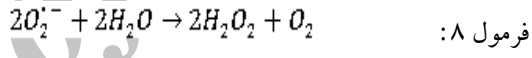
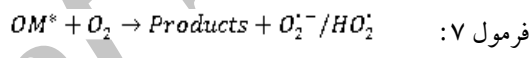
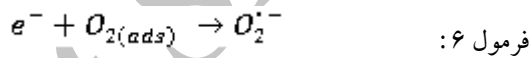
مکانیسم فرایند سونو کاتالیستی

به طور کلی مکانیسم فرایند اکسیداسیون فوتوكاتالیستی و سونو کاتالیستی می تواند به دو روش مستقیم و غیر مستقیم انجام شود. در فرایند سونولیز، پدیده سونولومینسانس و نقاط داغ (10⁵-10⁶ درجه سانتی گراد) ناشی از پدیده کاویتاسیون در محیط آبی

حفره‌های به وجود آمده در لایه ظرفیت، طبق فرمول شماره ۱۳ و ۱۴ با مولکول‌های آب چسبیده به سطح نانو ذرات و هم‌چنین طبق فرمول شماره ۱۵ با یون‌های منفی هیدروکسیلی که به صورت شیمیایی جذب شده اند، واکنش می‌دهند و رادیکال هیدروکسیل را بوجود می‌آورند (جهت اکسیداسیون غیرمستقیم). از طرفی مطابق فرمول شماره ۱۶ حفره‌های بوجود آمده پتانسیل اکسیداسیون مستقیم ترکیبات آلی جذب شده بر سطح نانو ذرات را دارا می‌باشند و در نتیجه حفره تشکیل شده مجدداً با گرفتن الکترون احیا (Regenerate) می‌گردد (روش اکسیداسیون مستقیم). در مقالات مختلف تایید شده است که O_2^- و OH^- دارای قدرت اکسیداسیون بالایی هستند و از طرفی مقدار تولید این رادیکال‌ها در نانو ذرات غنی شده بیشتر بوده و در نتیجه قدرت اکسیداسیون بالاتری نسبت به ذرات غیر غنی شده دارند.

در این مطالعه، با مقایسه رفتار جذب آلاندنه بر روی سطح کاتالیست، می‌توان نتیجه گرفت که حفره‌های اکسیداسیون در pH های اسیدی است در حالی که رادیکال‌های هیدروکسیل موجود در محیط آبی، عامل اصلی اکسیداسیون در pH های خنثی و قلیایی است. در محلول‌هایی با pH قلیایی، رادیکال هیدروکسیل به راحتی از طریق اکسیداسیون یون‌های فراوان جذب شده بر سطح کاتالیست TiO_2 تولید می‌شود و از طرفی ذرات TiO_2 تمایل به آگلومره شدن در pH های اسیدی دارند.(۸).

رادیکال هیدروکسیل تبدیل می‌گردد(۱۸). افزایش خاصیت کاتالیستی در pH پایین به دلیل افزایش میزان تولید رادیکال هیدروکسیل در حین فرایند است چرا که طبق فرمول ۹، شرایط اسیدی برای تولید رادیکال HO_2^- که پیش‌ساز تشکیل H_2O_2 و OH^- است مناسب می‌باشد(۱۹). از طرفی آلاندنه آلی که تحت تاثیر امواج اولتراسونیک قرار گرفته است (OM^*) مطابق فرمول شماره ۷ با مولکول‌های اکسیژن تشکیل آئیون رادیکال پروکسید و HO_2^- می‌دهد که در نهایت طبق فرمول شماره ۸ به پروکسید هیدروژن و به دنبال آن به رادیکال هیدروکسیل تبدیل می‌شود(۲۰).



References

1. Bianchini R, Pinzino C, Zandomeneghi M. Interaction of a reactive dye with serum albumins and with aminoacids: the dye as a chiral label. Dyes Pigm 2002; 55(2): 59-68.
2. Kamani H, Nasseri S, Khoobi M, Nodehi RN, Mahvi AH. Sonocatalytic degradation of humic acid by N-doped TiO_2 nano-particle in aqueous solution. J Environ Health Sci Eng 2016; 14(3): 2-9.
3. Kamani H, Bazrafshan E, Ashrafi SD, Sancholi F, Rasht I. Efficiency of Sono-nano-catalytic Process of TiO_2 Nano-particle in Removal of Erythromycin and Metronidazole from Aqueous Solution. J Mazandaran Univ Med Sci 2017;

- 27(151): 140-154 (Persian).
4. Pang YL, Abdullah AZ. Effect of carbon and nitrogen co-doping on characteristics and sonocatalytic activity of TiO₂ nanotubes catalyst for degradation of Rhodamine B in water. *Chem Eng J* 2012; 214: 129-138.
 5. Zhang S. Synergistic effects of C-Cr codoping in TiO₂ and enhanced sonocatalytic activity under ultrasonic irradiation. *Ultrason Sonochem* 2012; 19(4): 767-771.
 6. Pang YL, Abdullah AZ. Fe³⁺ doped TiO₂ nanotubes for combined adsorption-sonocatalytic degradation of real textile wastewater. *Appl Catal B* 2013; 129: 473-481.
 7. Wang J, Sun W, Zhang Z, Jiang Z, Wang X, Xu R, et al. Preparation of Fe-doped mixed crystal TiO₂ catalyst and investigation of its sonocatalytic activity during degradation of azo fuchsine under ultrasonic irradiation. *J Colloid Interface Sci* 2008; 320(1): 202-209.
 8. Akpan U, Hameed B. Parameters affecting the photocatalytic degradation of dyes using TiO₂-based photocatalysts: a review. *J hazard mater.* 2009; 170(2-3): 520-529.
 9. Kamani H, Bazrafshan E, Ghazikali MG, Askari M, Ameri R, Photocatalytic Decolorization of CI Sulphur Red 14 from Aqueous Solution by UV Irradiation in the Presence of ZnO nanopowder. *Health Scope* 2015; 4(2): e22248.
 10. Wu Y, Xing M, Tian B, Zhang J, Chen F. Preparation of nitrogen and fluorine co-doped mesoporous TiO₂ microsphere and photodegradation of acid orange 7 under visible light. *Chem Eng J* 2010; 162(2): 710-717.
 11. Rauf M, Meetani M, Hisaindee S. An overview on the photocatalytic degradation of azo dyes in the presence of TiO₂ doped with selective transition metals. *Desalination* 2011; 276(1-3): 13-27.
 12. Peternel IT, Koprivanac N, Božić AML, Kušić HM. Comparative study of UV/TiO₂, UV/ZnO and photo-Fenton processes for the organic reactive dye degradation in aqueous solution. *J hazard mater* 2007; 148(1): 477-484.
 13. Chen B, Wang X, Wang C, Jiang W, Li S. Degradation of azo dye direct sky blue 5B by sonication combined with zero-valent iron. *Ultrason Sonochem* 2011; 18(5): 1091-1096.
 14. Zhiyong Y, Mielczarski E, Mielczarski J, Laub D, Buffat P, Klehm U, et al. Preparation, stabilization and characterization of TiO₂ on thin polyethylene films (LDPE) Photocatalytic applications. *Water Res* 2007; 41(4): 862-874.
 15. Duran A, Monteagudo J. Solar photocatalytic degradation of reactive blue 4 using a Fresnel lens. *Water Res* 2007; 41(3): 690-698.
 16. Pang YL, Bhatia S, Abdullah AZ. Process behavior of TiO₂ nanotube-enhanced sonocatalytic degradation of Rhodamine B in aqueous solution. *Sep Purif Technology* 2011; 77(3): 331-338.
 17. Li G, Zhao X, Ray MB. Advanced oxidation of orange II using TiO₂ supported on porous adsorbents: The role of pH, H₂O₂ and O₃. *Sep Purif Technol* 2007; 55(1): 91-97.
 18. Pang YL, Abdullah AZ. Effect of carbon and nitrogen co-doping on characteristics and sonocatalytic activity of TiO₂ nanotubes catalyst for degradation of Rhodamine B in water. *Chem Eng J* 2013; 214: 129-138.
 19. Song C, Chen P, Wang C, Zhu L. Photodegradation of perfluorooctanoic acid by synthesized TiO₂-MWCNT composites under 365nm UV irradiation. *Chemosphere* 2012; 86(8): 853-859.
 20. Ou X, Chen S, Quan X, Zhao H. Photoinductive activity of humic acid fractions with the presence of Fe (III): The role of aromaticity and oxygen groups involved in fractions. *Chemosphere* 2008; 72(6): 925-931.